

تبارزایی و تکامل صفات ریخت‌شناسی بخش‌های آکانتوفاسه و اگاکانتا از سرده گون (تیره باقلائیان) بر اساس توالی‌های هسته‌ای و کلروپلاستی در ایران

زهره خلیلی^۱، شاهرخ کاظم پور اوصالو^{۲,۳} و علی اصغر معصومی^۲

^۱گروه علوم گیاهی، دانشکده علوم زیستی، دانشگاه تربیت مدرس، تهران، ایران؛ ^۲بخش گیاه‌شناسی، موسسه تحقیقات جنگل‌ها و مراتع کشور، سازمان تحقیقات، آموزش و تربیjt کشاورزی، تهران، ایران؛ ^۳قطعه تبارزایی موجودات زنده ایران، دانشگاه تهران، تهران، ایران
مسئول مکابن: شاهرخ کاظم پور اوصالو، skosaloo@modares.ac.ir

چکیده. روابط تبارزایی و تکامل صفات ریخت‌شناسی بخش‌های *Astragalus* از سرده *Aegacantha* و *Acanthophace* با استفاده از ترکیب داده‌های ITS و *rpl32-trnL^{UAG}* و انتخاب گونه *Astragalus stocksii* به عنوان بروون‌گروه بررسی شدند. از دستاوردهای تبارزایی این مطالعه تک نیا نبودن بخش‌های *Acanthophace* در مفهوم کنونی به دلیل جدایی گونه *A. ovigerus* و ناسازگاری موقعیت این گونه در داده‌های هسته‌ای با کلروپلاستی است. بخش‌های *Aegacantha* نیز به دلیل موقعیت گونه *A. montis-parrowii* در فاصله دور از سایر اعضای بخش و قرارگیری در کنار سایر گونه‌های خاردار، در مفهوم کنونی تک نیا نیست. بازسازی ۳۲ صفت بر روی درخت تبارزایی ترکیبی بیزین نشان داد که برخی از صفات برای تعیین حدود آرایه‌شناسی بخش‌های *Aegacantha* و *Acanthophace* مفید است. تکامل صفاتی مانند وجود فشردگی در پهنک درفش، شکل نیام و داشتن نیام تک حجره به اندازه کافی برای جداسازی گونه *A. ovigerus* از سایر گونه‌های خوبشاوند خود ارزشمند است. تکامل صفات منطبق با موقعیت تبارزایی دور گونه *A. montis-parrowii* از سایر گونه‌های خوبشاوند خود عبارتند از: تعداد گل در گل‌آذین، وجود دم گل‌آذین، گلبرگ‌های کرکدار، شکل ویولونی و وجود فشردگی در پهنک درفش، تمایز ناخنک در قاعده درفش، وجود ناخنک درفش و اختلاف اندازه طول ناو و بال.

واژه‌های کلیدی. بقولات، تکامل صفات، جورنمایی، روابط تبارزایی، صفت مشترک پیشرفتی

Phylogeny and morphological traits evolution of *Astragalus* sects. *Acanthophace* and *Aegacantha* in Iran on the basis of nrDNA ITS and *rpl32-trnL^{UAG}* sequences

Zohreh Khalili¹, Shahrokh Kazempour-Osaloo^{1,3} & Ali Asghar Maassoumi²

¹Department of Plant Biology, Faculty of Biological Sciences, Tarbiat Modares University, Tehran, Iran; ²Department of Botany, Research Institute of Forests and Rangelands, Agricultural Research Education and Extension Organization (AREEO), Tehran, Iran; ³Center of Excellence in Phylogeny of Living Organisms, University of Tehran, Tehran, Iran
Corresponding author: Shahrokh Kazempour-Osaloo, skosaloo@modares.ac.ir

Abstract. In this study, phylogenetic relationships and evolutionary trends of morphological characters of *Astragalus* sects. *Acanthophace* and *Aegacantha* were studied using nrDNA ITS and *rpl32-trnL^{UAG}* datasets while *Astragalus stocksii* was selected as the outgroup. The phylogenetic results indicated the non-monophlyy of *A. sect. Acanthophace* in its current circumscription due to the distant exclusion of *A. ovigerus* from the core group, and incongruence between nuclear and plastid datasets on the basis of different position of latter species in the resulted phylogenetic trees. *Astragalus sect. Aegacantha* was also found to not being monophyletic due to the distant position of *A. montis-parrowii* from the other representatives of the section while accompanying with other spiny *Astragalus* species. The Optimization of 32 morphological characters on the Bayesian combined tree indicated that some characters were most useful for delimitation of taxa in sections *Acanthophace* and *Aegacantha*. The results obtained from the evolution of characters showed that standard blade constriction, legume shape and possessing unilocular pods were of diagnostic importance for the separation of *A. ovigerus* from other species. The traced characters were in accordance with the phylogenetic

position of *A. montis-parrowii*, which was separated from other members of sect. *Aegacantha*, as the number of flowers in inflorescences, the presence of peduncle, hairy petal, pandurate standard and constriction of standard that is differentiated to claw, the presence of claw in standard and the length difference between keel and wing were different from those in other members of the sect. *Aegacantha*.

Keywords. Character evolution, homoplasy, leguminosae, phylogenetic relationship, synapomorphy

روابط درون‌بخشی‌های بخش‌های فوق‌الذکر و بررسی روند تکامل صفات ریخت‌شناسی در آنها در چارچوب تبارزایی مولکولی است.

مواد و روش‌ها

نمونه‌برداری

در مطالعه حاضر، هشت گونه از بخش *Acanthophace* پنج گونه از بخش *Aegacantha* و شش گونه از سایر گونه‌های خاردار متعلق به بخش‌های مختلف مورد مطالعه قرار گرفته است و گونه *A. stocksii* Bunge از بخش *Caraganella* بر اساس *A. stocksii* Bunge (Amini et al., 2019) به عنوان برونوگروه مطالعه قبلی (Amini et al., 2019) است.

تحلیل داده‌های تبارزایی‌شی

براساس توالی‌های ITS و nrDNA *rpl32-trnL^{UAG}* (Khalili et al., 2020)، روابط تبارزایی داده‌های هسته‌ای و کلروپلاستی و ترکیب دو داده به روش استنباط بیزین در نرم‌افزار MrBayes 3.2.6 (Ronquist et al., 2012) با استفاده از پایگاه اینترنتی CIPRES (<https://www.phylo.org>, Miller et al., 2010) موردنظر تجزیه و تحلیل قرار گرفت و درخت بیزین حاصل از ترکیب داده‌ها انتخاب شد. درختان حاصل از هر سه مجموعه داده در شکل‌های A، B و C نشان داده شده است. مدل تکاملی TVM+G با استفاده از برنامه jModelTest (Posada, 2008) بر اساس معیار اطلاعاتی Akaike (AIC) (Ronquist et al., 2012) برای داده‌های ترکیبی انتخاب شده است.

ترکیب‌پذیری داده‌های هسته‌ای و کلروپلاستی، با استفاده از آزمون اختلاف طول ناسازگار (ILD) (Faris et al., 1994) (Swofford, 2002) موردنظر شده در نرم افزار PAUP* (Swofford, 2002) ارزیابی قرار گرفت. اطلاعات مربوط به نمونه‌های بررسی شده در درخت بیزین حاصل از داده‌های ترکیبی در جدول ۱ نشان داده شده است.

تحلیل داده‌های ریخت‌شناسی

برای درک بهتر توزیع و تکامل صفات، پس از مطالعه چندین صفت ریخت‌شناسی، ماتریسی از ۳۲ صفت ریخت‌شناسی با همان آرایه‌هایی که در مطالعه مولکولی تبارزایی مورد استفاده قرار گرفت، ایجاد شد (جدول ۳).

مقدمه

سرده *Astragalus* L. متعلق به تیره باقلائیان (Fabaceae) با بیش از ۳۰۰۰ گونه یکی از بزرگ‌ترین و متنوع‌ترین سرده‌های گیاهان گلدار (Lock & Simpson, 1991; Maassoumi, 1998; Podlech & Zarre, 2013) سرده در ایران است (Ghahremaninejad & Joharchi, 2020). گونه‌های خاردار با بیش از ۳۰۰ گونه طبقه‌بندی شده در چندین بخش، یکی از گروههای اصلی سرده *Astragalus* را تشکیل می‌دهند (Maassoumi, Podlech & Zarre, 2013; Podlech & Zarre, 1998). بر اساس آخرین طبقه‌بندی (Podlech & Zarre, 2013) بخش *Acanthophace* Bunge از ۹ گونه تشکیل شده است که هفت گونه آنها بومی ایران هستند. این بخش از درختچه‌های خاردار بالشتکی‌شکل تشکیل شده است که دارای کرک‌های عمدتاً سفید در بخش‌های رویشی مخلوط با کرک‌های خاکستری و سیاه در گل‌آذین است. خوشه‌های آن‌ها دارای تعداد اندک تا ۱۰ گل؛ جام گل به رنگ صورتی یا مایل به آبی تا بنفش و نیام عمدتاً دوچهره‌ای است (Zarre & Podlech, 2001; Podlech & Zarre, 2013).

چندین صفت ابتدایی مشترک در گونه‌های متعلق به این بخش وجود دارد مانند وجود کرک‌های صاف روبان مانند، نیام بزرگ صاف و درفشی که به‌طور مشخص به پهنه‌ک و ناخنک تمایز نیافرته است (Zarre-Mobarakeh, 2000).

A. hezarensis Zarre & *A. ovigerus* Boiss. در بسیاری از مطالعات به عنوان اعضای Podlech & Zarre در نظر گرفته شده‌اند (Podlech et al., 2001; Podlech & Zarre, 2013). در حالی که *A. hezarensis* Zarre & *A. ovigerus* Boiss. به *Lamprocarpa* داشتن نیام تک‌حجره در بخش *Lamprocarpa* متمایز کرده است. *A. hezarensis* Zarre & *A. ovigerus* Boiss. به عنوان اعضای Podlech & Zarre در نظر گرفته شده‌اند (Podlech et al., 2001; Podlech & Zarre, 2013). در حالی که *A. hezarensis* Zarre & *A. ovigerus* Boiss. به *Lamprocarpa* داشتن نیام تک‌حجره در بخش *Lamprocarpa* متمایز کرده است.

بخش *Aegacantha* Bunge از ۵۶ گونه تشکیل شده است که شامل بوته‌های بالشتکی‌شکل خاردار با کرک‌های قاعده‌چسب سفید یا مخلوط سیاه و سفید، گل‌آذین خوشه با یک تا تعداد اندک گل، جام گل اکثرآ زردرنگ و نیام غالباً دوچهره‌ای است (Podlech & Zarre, 2013). این بخش در ایران دو گونه دارد (Maassoumi, 2016). اهداف این مطالعه ارزیابی تک‌تباری و

بوده است، نتیجه آزمون ILD به منظور ترکیب داده‌های *rpl32-trnL^{UAG}* با *nrDNA ITS* و *nrDNA ITS rpl32-trnL^{UAG}* ($P=0.11$) به معنای سازگاری جهت ترکیب داده‌ها مطابقت داشت. بنابراین ماتریس ترکیبی داده‌های *ITS* و *nrDNA ITS rpl32-trnL^{UAG}* تهیه شد. تجزیه و تحلیل مجموعه داده‌های ترکیبی با ۲۰ گونه، ۱۶۲۹ جایگاه نوکلئوتیدی، دارای ۸۶ جایگاه نوکلئوتیدی اطلاعاتی و ۲۲۷ شاخص سازگاری ۷۳۵/۰ و شاخص گروه‌پذیری ۸۷۱/۰ شد. درخت ترکیبی بازسازی شده با روش بیزین (شکل ۱) دو کlad با حمایت بالا (PP) را نشان داد که شامل کlad در برگیرنده گونه‌های *Aegacantha* با حمایت (PP=0.99) و کlad دوم شامل بخش *Aegacantha* با حمایت (PP=0.99) به همراه دیگر آرایه‌های گون خاردار (PP=1.00) است. در کlad دوم گونه *A. cryptocarpos* در کنار زیر کladی با حمایت (PP=0.92) شامل گونه‌های DC. *A. cystosus* و *A. sclerocladus* Bunge *jycioides* Boiss. قرار دارد و سپس روابط تبارزایشی حل نشده *A. horridus* *A. stenostegius* Boiss. & Hausskn گونه‌های *A. ovigerus* Boiss. *A. hezarensis* Boiss با یک شاخه بلند در موقعیت قاعده‌ای زیر کlad بعدی با حمایت (PP=0.96) شامل نمایندگان سایر بخش‌های گون خاردار قرار دارد.

گونه *A. montis-parrowii* متعلق به بخش *Aegacantha* در فاصله دور از سایر گونه‌های این بخش در کنار گونه‌های دیگر خاردار در کlad دوم قرار گرفته است (شکل ۱).

داده‌های ریخت‌شناسی

داده‌های آماری درخت با استفاده از داده‌های حاصل از ماتریس صفات ریخت‌شناسی عبارتند از درختی به طول ۱۵۷ گام، شاخص سازگاری ۰/۲۹ و شاخص گروه‌پذیری ۰/۳۷ بالاترین شاخص سازگاری مربوط به صفات ۲۵ (ci=1.00) و ۲۴ (ci=0.66) و سپس صفات شماره ۸، ۱۳، ۲۰، ۲۸ و ۲۰ با ci=0.5 و ۳۲ و ۳۱، ۱۱، ۲۵، ۶، ۳۱، ۲۵ و ۳۲ کمترین جورنمایی بودند. صفات شماره ۵، ۲۰، ۱۶، ۱۴، ۳، ۲۲، ۲۰، ۲۹ و ۳۰ با شاخص سازگاری شماره ۰/۱۶ بود. هفت صفت شامل شماره‌های ۷ و ۱۴ و سپس مربوط به صفات ۲۲ با شاخص گروه‌پذیری صفر، سطح بالای جورنمایی و صفت وجود دم گل آذین (صفت شماره ۱۳) و شکل پهنک درفش (صفت شماره ۲۵) با شاخص گروه‌پذیری به ترتیب ۰/۸ و ۰/۱۰۰، سطح جورنمایی پایین را در گونه‌های مورد مطالعه نشان دادند.

با مطالعه مقالات و مشاهده نمونه‌های هریاریومی مختلف، صفات و حالات صفات که در تعریف آرایه‌شناسختی گونه‌های مورد مطالعه بیشترین ارزش تشخیصی را داشتند، تعیین و کدگذاری شدند Maassoumi, 1995; Podlech, 1999; Zarre-Mobarakeh, 2000; Maassoumi, 2005, 2016; Podlech & Zarre, 2013. حالتهای صفات با ارزش گذاری عددی به صورت نامرتب کدگذاری شدند (یعنی تغییر از یک حالت به حالت دیگر یک گام است). ارزش‌های داده شده به حالتهای مختلف صفات، هیچ‌گونه برتری به یکدیگر نداشتند و نیایی با پیشرفت‌هه بودن آنها تنها پس از مکان‌گذاری در قالب تبارزایی مشخص شدند. قطبیت صفات با Maddison et al., 1984. در این روش، اگر حالت صفتی در بروون‌گروه مشاهده شود، برای آن عدد صفر و برای حالت متقابل عدد یک در نظر گرفته شد. نهایتاً ماتریس داده‌های ریخت‌شناسختی کدگذاری شده ذیل بر روی درخت حاصل از استباط بیزین با روش Likelihood و بر اساس مدل Mk1 (مدل یک پارامتری Maddison & Mesquite v. 3.04) مکان‌گذاری شد. صفات فرم رویشی، تراکم شاخه‌ها در قاعده گیاه، وجود کرک در گوشوارک، تعداد جفت برگچه‌ها، شکل برگچه، پراکندگی کرک در برگچه‌های جوان، وجود کرک در سطح فوقانی برگچه، شکل رأس برگچه، وجود گلهایی با کرک‌های مخلوط سیاه و سفید، تراکم گل در گل آذین، تعداد گل‌های موجود در گل آذین، تکامل دم گل آذین، طول دم گل آذین (سانتی‌متر)، پراکندگی کرک در برگ (پراکته)، وجود برگک (پراکتیول) در قاعده کاسه، شکل برگک، شکل دندانه‌های کاسه، وجود کرک در گلبرگ، رنگ پهنک گلبرگ، طول درفش، شکل یولونی در درفش، تمایز درفش به ناخنک، شکل پهنک درفش، وجود فشردگی در پهنک درفش، شکل درفش در قاعده، شکل ناخنک درفش، طول بال در مقایسه با طول درفش، طول ناو در مقایسه با طول بال، شکل نیام و تعداد حجره نیام در این پژوهش مورد بررسی قرار گرفته است. صفات، حالات صفات و کدهای مربوط به ماتریس داده‌های ریخت‌شناسختی در جدول های ۲ و ۳ مشخص شده است.

نتایج

داده‌های تبارزایشی

علی‌رغم مشاهده بصری ناسازگاری درخت هسته‌ای *rpl32-trnL^{UAG}* ITS (شکل ۱) با درخت کلروپلاستی *A. ovigerus* (B) که به دلیل موقعیت متفاوت گونه

درفش (صفت شماره ۲۶) با موقعیت کلادهای کوچک در درخت تبارزایشی بخش *Acanthophace* مطابقت دارد. حالات صفات گوشوارک کرکدار، نسبت طول به عرض برگجهها و برگجهایی با رأس منفرجه تا حاشیه‌دار (حالت صفت شماره ۹) در *A. lycioides* شامل گونه‌های *Acanthophace* کلاد کوچک بخش *Acanthophace* مشاهده شد. رنگ کرک در *A. cystosus* و *A. sclerocladus* گونه‌های متعلق به بخش *Acanthophace* مخلوط سفید و سیاه است به جز کرکهای موجود در گونه *A. sclerocladus* که منحصرآ سفید می‌باشد (حالت صفت شماره ۱۰). گل آذین خوش به ۳-۲ گل (صفت شماره ۱۲) فقط در گونه‌های *A. ovigerus* و *A. ovigerus* مشاهده می‌شود. در تمام گونه‌های بخش *hezarensis* شکل دندانه‌های کاسه به صورت نوکتیز تا نوکتیز با پایه مثلثی (حالت صفت شماره ۱۹) و طول درفش حداقل ۱۲ میلی‌متر (حالت صفت شماره ۲۲) است به استثنای گونه‌های *A. stenostegius* و *A. horridus* که در آن شکل دندانه‌های کاسه رشتی‌ای تا خطی با طول درفش حداقل تا ۱۵-۱۴ میلی‌متر هستند.

از ۳۲ صفت ریخت‌شناسی مورد مطالعه، تنها مکان‌گذاری پنج صفت دقیقاً مطابق با روابط تبارزایشی گونه‌های بخش *Acanthophace* در درخت مولکولی ترکیبی آنها است. این صفات عبارتند از: شکل برگجهها (صفت شماره ۶)، شکل پهنک درفش (صفت شماره ۲۵)، وجود فشردگی در درفش (صفت شماره ۲۶)، شکل درفش در قاعده (صفت شماره ۲۷) و شکل نیام (صفت شماره ۳۱). نتایج تجزیه و تحلیل تکامل صفات بر اساس صفات وجود دم گل آذین، شکل پهنک درفش، فشردگی در درفش، شکل درفش در قاعده و شکل نیام جدایی بخش‌های *Aegacantha* و *Acanthophace* در درخت تبارزایشی ترکیبی تایید می‌کند. مقادیر *c1* (شاخص سازگاری) و *r1* (شاخص گروه‌پذیری)، صفات، حالت صفت و تعداد تغییرات برای هر صفت در جدول ۲ نشان داده شده است.

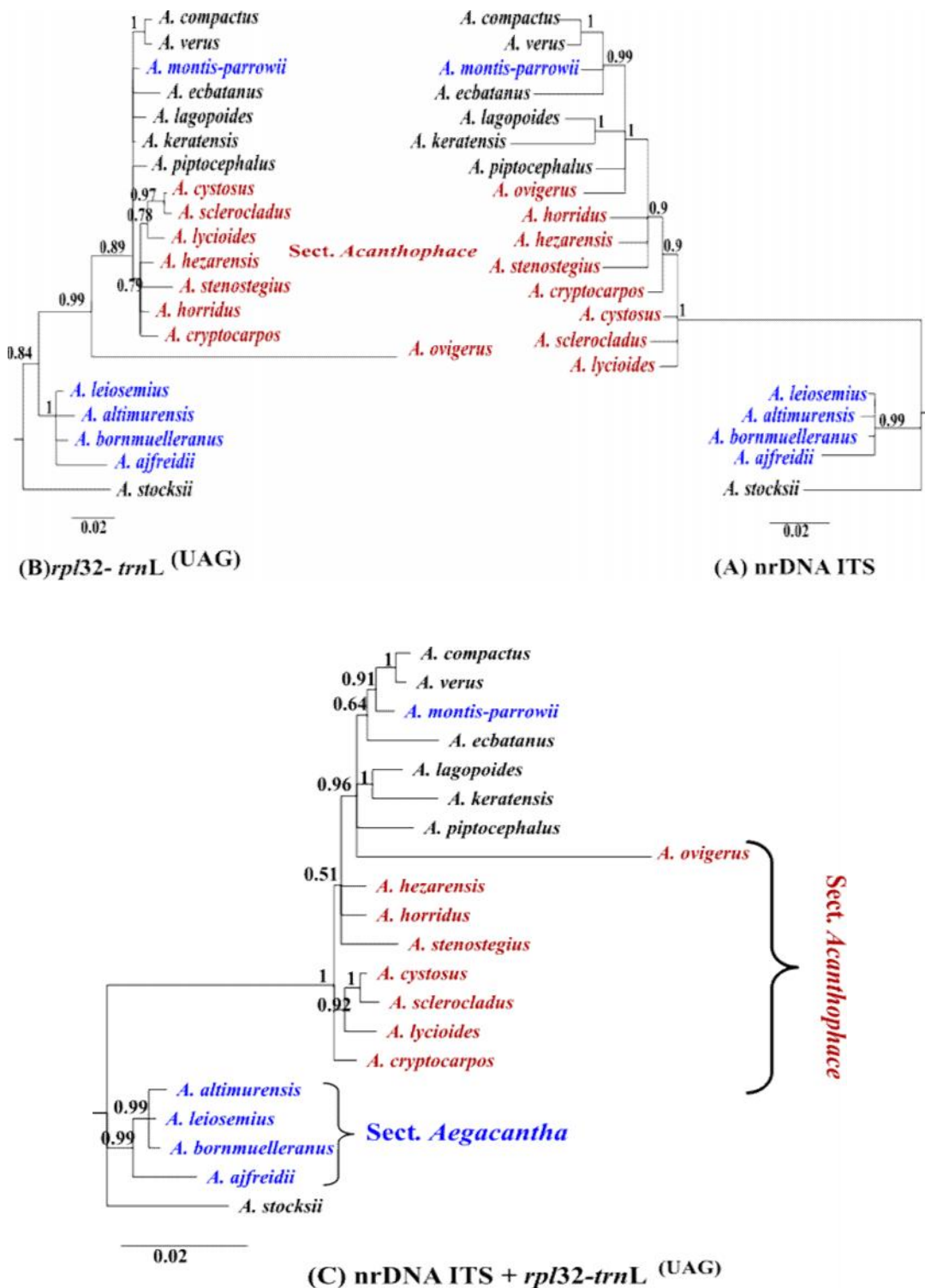
Acanthophace بخش

مکان‌گذاری صفات ریخت‌شناسی شامل کرک گوشوارک (صفت شماره ۳)، شکل برگجهها (صفت شماره ۶) و شکل پهنک

جدول ۱- آرایه‌های مورد مطالعه در روش استنباط بیزین و تجزیه و تحلیل تکامل صفات ریخت‌شناسی.

Table 1. Taxa included in the Bayesian inference and morphological character evolution analyses.

گونه‌ها	بخش‌ها	اطلاعات هرباریومی نمونه‌های مورد مطالعه و شماره دسترسی بانک ژن (nrDNA ITS/rpl32-trnL ^{UAG})
<i>Astragalus stocksii</i> Benth. ex Bunge	<i>Caraganella</i>	Iran: Foroughi 10802 (TARI) (AB051966/LC426004)
<i>A. ecbatanus</i> Bunge	<i>Campylanthus</i>	Iran: Hamzehee 1513 (TARI) (LC529244/LC529286)
<i>A. lagopodiooides</i> Vahl	<i>Hymenostegia</i>	Iran: Assadi & Olfat 68825 (TARI) (AB052013/LC529288)
<i>A. verus</i> Olivier	<i>Platonychium</i>	Iran: Mozaffarian & Maassoumi 47797 (TARI) (AB052023/AB908473)
<i>A. compactus</i> Lam.	<i>Rhacophorus</i>	Iran: Podlech et al. 55226 (MSB) (LC529252/LC529296)
<i>A. keratensis</i> Bunge	<i>Anthylloidei</i>	Iran: Maassoumi & Zarre 71945 (TARI) (AB908454/AB908595)
<i>A. piptocephalus</i> Boiss. & Hausskn.	<i>Polystegia</i>	Iran: Maassoumi & Mozaffarian 76763 (TARI) (AB052018/AB908522)
<i>A. cryptocarpos</i> DC.	<i>Acanthophace</i>	Turkey: Engel 108a (MSB) (LC529217/LC529257)
<i>A. cystosus</i> Zarre & Podlech	<i>Acanthophace</i>	Iran: Runemark & Sardabi 23785 (TARI) (LC529218/LC529258)
<i>A. hezarensis</i> Zarre & Podlech	<i>Acanthophace</i>	Iran: Mirtajeddini 1383-7-3 (TMUH) (LC529219/LC529259)
<i>A. horridus</i> Boiss.	<i>Acanthophace</i>	Iran: Runemark & Lazari 26188 (TARI) (LC529220/LC529260)
<i>A. lycioides</i> Boiss.	<i>Acanthophace</i>	Iran: Wendelbo & Foroughi 11456 (TARI) (LC529224/LC529265)
<i>A. ovigerus</i> Boiss.	<i>Acanthophace</i>	Iran: Sardari 3107 (TARI) (LC529229/LC529269)
<i>A. sclerocladus</i> Bunge	<i>Acanthophace</i>	Iran: Zarre 69116 (TARI) (LC529231/LC529271)
<i>A. stenostegius</i> Boiss. & Hausskn.	<i>Acanthophace</i>	Iran: Assadi & Mehregan 89036 (TARI) (LC529230/LC529270)
<i>A. ajfreidii</i> Aitch. & Baker	<i>Aegacantha</i>	Afghanistan: Freitag 3623 (MSB) (LC529239/LC529281)
<i>A. altimurensis</i> I.Deml	<i>Aegacantha</i>	Afghanistan: Podlech 18531 (MSB) (LC529238/LC529280)
<i>A. bornmuelleranus</i> B.Fedtsch.	<i>Aegacantha</i>	Tadzhikistan: N. G. Kaletkina 1976/12950 (W) (LC529240/LC529282)
<i>A. leiosemius</i> (Lipsky) Popov	<i>Aegacantha</i>	Iran: Amidi & Pariab 4812 (TARI) (LC529241/LC529283)
<i>A. montis-parrowii</i> Maassoumi & Nemati	<i>Aegacantha</i>	Iran: Nemati et al. 6108 (TARI) (LC529242/LC529284)



شکل ۱- درخت اجماعی (50% majority-rule) حاصل از استباط بیزی توالی های، A. *rpl32-trnL*^{UAG}. B. nrDNA ITS. C. *rpl32-trnL*^{UAG}. C. *rpl32-trnL*^{UAG}. توالی های ترکیبی هسته‌ای و کلروپلاستی. مقادیر احتمال پسین در شاخه‌ها مشخص شده است.

Fig. 1. The 50% majority-rule consensus trees inferred from Bayesian analysis using, A. nrDNA ITS. B. *rpl32-trnL*^{UAG}. C. combined datasets. Posterior probability (PP) values are depicted on the branches.

A. altimurensis (حالت صفت شماره ۲۹) در گونه I. Deml تکامل یافته است. صفات کرک برگچه (صفت شماره ۷)، شکل راس برگچه (صفت شماره ۹)، شکل دندانه‌های کاسه (صفت شماره ۱۹) در این بخشی یکنواخت نبودند.

گونه *A. montis-parrowii* با دیگر اعضای بخش *Aegacantha* در صفات زیر تفاوت داشته است: تعداد گل در گل آذین (صفت شماره ۱۲)، وجود دم گل آذین (صفت شماره ۱۳)، کرک در گلبرگ (صفت شماره ۲۰)، شکل ویولونی درفش (صفت شماره ۲۳)، تمایز درفش به ناخنک (صفت شماره ۲۴)، فشردگی در درفش (صفت شماره ۲۶)، شکل ناخنک درفش (صفت شماره ۲۸) و مقایسه طول ناو و بال (صفت شماره ۳۰).

صفات مکان‌گذاری شده بر روی درخت بیزین حاصل از مجموعه داده‌های ترکیبی هسته‌ای و کلروپلاستی در شکل‌های A-H ۲ ارائه شده‌اند. الگوهای جورنمایی با استفاده از رنگ‌های مختلف نشان داده شده است.

...وجود برگک در قاعده کاسه (حالت صفت شماره ۱۷) با شکل نوک تیز تا خطی (حالت صفت شماره ۱۸) به جز در گونه‌های *A. stenostegius* و *A. horridus cryptocarpus* وجود دارد. حالت صفت گلبرگ بدون کرک (حالت صفت شماره ۲۰) نیایی بوده که به حالت صفت گلبرگ کرکدار در گونه *A. cystosus* تکامل یافته است. رنگ پهنه گلبرگ (صفت شماره ۲۱) به طور عمده صورتی تا قرمز و آبی بوده به جز در گونه *A. hezarensis* که رنگ گلبرگ سفید نیایی در آن حفظ شده است. شکل نیام (صفت شماره ۳۱) از حالت ابتدایی مستطیلی-بیضوی به تخم مرغی فقط در *A. ovigerus* تکامل یافته است (شکل ۲). بررسی صفات مورد مطالعه نشان داده است که بخش *Acanthophace* چندین حالت صفت نیایی را حفظ کرده است در حالی که در برخی صفات دیگر به حالت تکامل یافته تغییر یافته است، همچنین برخی از صفات هیچ یکنواختی را نشان ندادند و یا برای گونه‌های خاص منحصر به فرد بودند و یا سطح بالایی از جورنمایی را نشان می‌دادند.

بحث

گونه *A. ovigerus* (= *A. lamprocarpus* Maassoumi) در موارد بسیاری متعلق به بخش *Acanthophace* در نظر Zarre & Podlech, 2001; Podlech et al., 2001; Podlech & Zarre, 2013 گرفته شده است (Zarre & Podlech, 2001; Podlech & Zarre, 2013) در حالی که در فلور *Lamprocarpa* (Maassoumi, 2016) آن را در بخش *A. ovigerus* قرار داده است. در این پژوهش، تجزیه و تحلیل های تبارزایشی و تکامل صفات جدایی گونه *A. ovigerus* از بخش *Acanthophace* را تایید می کند. این گونه در هر سه درخت تبارزایشی حاصل از تجزیه و تحلیل داده‌های ITS nrDNA (Podlech et al., 2001; Zarre & Podlech, 2001) در *rpl32-trnL^{UAG}* و ترکیب داده‌ها (شکل های ۱-۳) در موقعیت خارج از کلاد *Acanthophace* قرار گرفته است موقعیت تبارزایشی این گونه بر اساس توالی کلروپلاستی *trnS^(GCU)-trnG^(UCC)* نیز در خارج از کلاد *Acanthophace* است (*A. ovigerus*) (Khalili et al., 2020). مقایسه طول شاخه گونه *A. ovigerus* در دو درخت تبارزایشی هسته‌ای و کلروپلاستی (شکل های ۱-۳)، همچنین موقعیت متفاوت آن در درختان تبارزایشی به طوری که در درختان تبارزایشی حاصل از داده‌های هسته‌ای (شکل ۱) و ترکیبی (شکل ۳) در داخل کلاد بزرگ گونه‌های خاردار قرار گرفته است و در درخت تبارزایشی کلروپلاستی (شکل ۱) با شاخه بلند و حمایت بالا (PP=0.99) به صورت آرایه خواهر کلاد بزرگ گونه‌های خاردار بازسازی شده است، می‌تواند حاکی از رویداد اخذ کلروپلاستی (Chloroplast capture) در گونه مذکور باشد. گونه *A. montis-parrowii* متعلق به بخش *A. montis-parrowii*

از بین صفات مورد بررسی، صفات فرم رویشی (صفت شماره ۱)، تراکم شاخه‌ها در قاعده گیاه (صفت شماره ۲)، گل‌هایی با کرک‌های مخلوط سیاه و سفید (صفت شماره ۱۰)، تعداد گل در گل آذین (صفت شماره ۱۲)، وجود دم گل آذین (صفت شماره ۱۳)، شکل برگ (صفت شماره ۱۵)، رنگ پهنه گلبرگ درفش (صفت شماره ۲۱)، شکل ویولونی درفش (صفت شماره ۲۳)، شکل پهنه گلبرگ درفش (صفت شماره ۲۵)، فشردگی در درفش (صفت شماره ۲۶)، شکل درفش در قاعده (صفت شماره ۲۷)، شکل ناخنک در درفش (صفت شماره ۲۸) و مقایسه طول ناو و بال (صفت شماره ۳۰) یکنواختی را در این بخش نشان می‌دهند. گوشوارک کرکدار (حالت صفت شماره ۳) و شکل نیام تخم مرغی (حالت صفت شماره ۳۱) به جز در گونه‌های *A. montis-parrowii* و *leiosemius* (Lipsky) Popov. حالتهای متناول صفات در گونه‌های مورد مطالعه این بخش بودند. حالت صفات تعداد برگچه تا پنج جفت (صفت شماره ۵) فقط در گونه *A. ajfreidii* تکامل یافته است. شکل برگچه‌ها بجز در گونه *A. bornmuellerianus* B.Fedtsch (حالت صفت شماره ۶) در بقیه شکل باریک‌شونده (نسبت طول به عرض برگچه بیشتر از ۲) داشته است. برگچه‌های جوان دارای کرک در سطح فوقانی (حالت صفت شماره ۸) فقط در گونه‌های *A. montis-parrowii* و *A. ajfreidii* تکامل یافته است. حالت های صفت شامل طول درفش حد اکثر تا ۱۵-۱۴ میلی‌متر (حالت صفت شماره ۲۲) و طول بال تا یک میلی‌متر کوتاه

جدول ۲- مقدار ci: شاخص سازگاری و ri: شاخص گروه‌پذیری، صفات، حالت صفت و تعداد تغییرات برای هر صفت در گونه‌های مورد مطالعه.

Table 2. The values of the ci: consistency index, ri: retention index, characters, states and number of changes for each attribute in studied species.

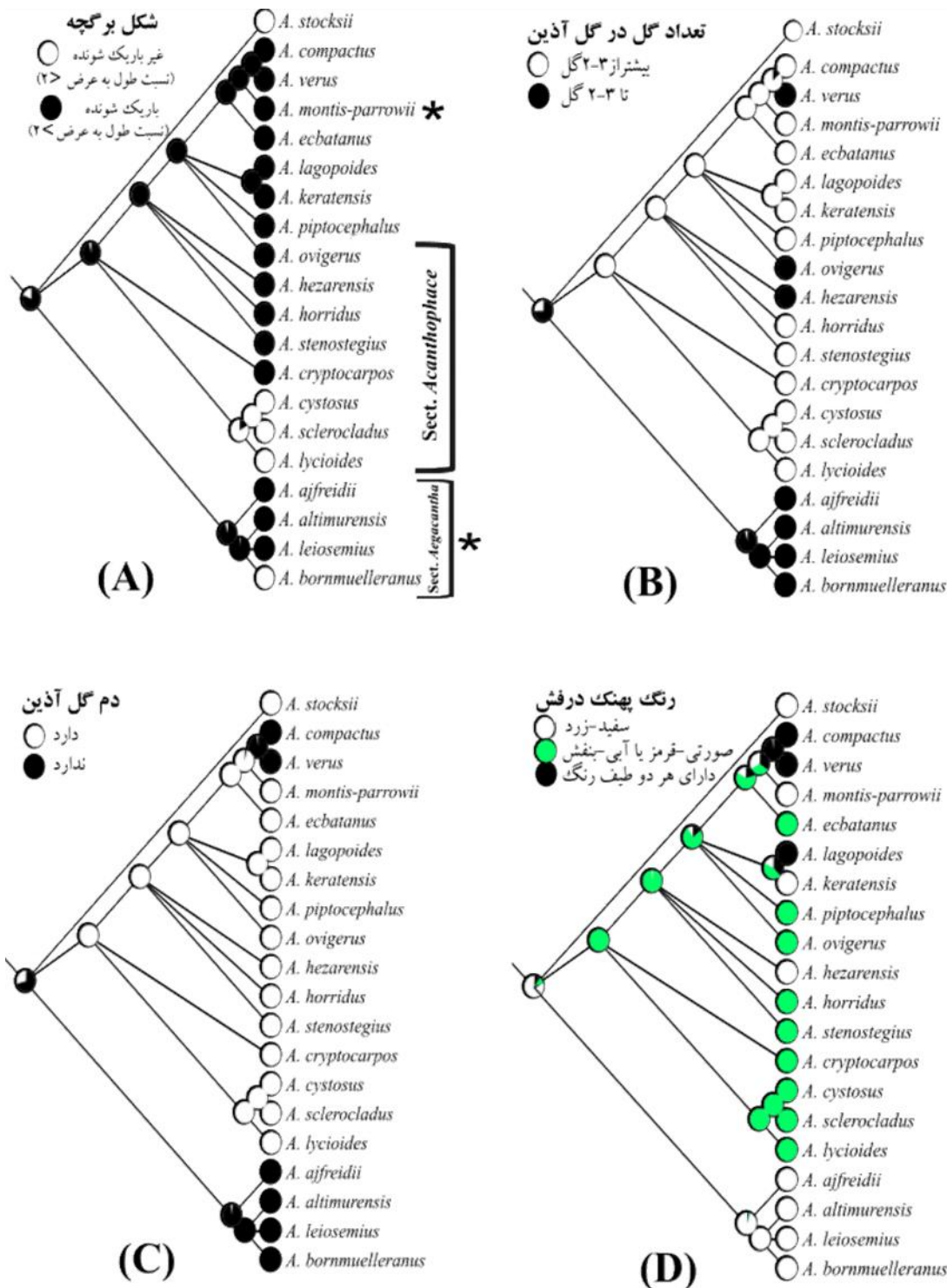
شماره	صفت	حالت صفت	تعداد گام	شاخص سازگاری	شاخص گروه‌پذیری
۱	فرم رویشی	(۰) نیمه درختچه‌ای، (۱) درختچه‌ای کوتاه	۵	۰/۲	۰/۵
۲	تراکم شاخه‌ها در قاعده گیاه	(۰) متراکم، (۱) غیر متراکم، (۲) متراکم یا غیر متراکم	۷	۰/۲۸	۰/۱۶
۳	کرک گوشوارک	(۰) وجود دارد، (۱) زود یا دیر بی کرک شونده	۶	۰/۱۶	۰/۳۷
۴	اندازه خار انتهای برگ	(۰) کوتاه تا ۱/۱ اندازه راسی ترین برگچه، (۱) بیشتر از ۱/۱ راسی ترین برگچه	۶	۰/۱۶	۰
۵	تعداد چفت برگچه‌ها	(۰) تا پنج چفت، (۱) بیشتر از پنج چفت	۳	۰/۳۳	۰
۶	شکل برگچه	(۰) غیر باریک شونده (نسبت طول به عرض > 2)، (۱) باریک شونده (نسبت طول به عرض < 2)	۳	۰/۳۳	۰/۵
۷	پراکندگی کرک در برگچه جوان	(۰) در هر دو سطح یا یک سطح کرک دار یا اغلب کرک دار، (۱) در هر دو سطح برگ بی کرک تا اغلب بی کرک یا دارای کرک پراکنده و تنک در یک سطح	۷	۰/۱۴	۰
۸	وجود کرک در سطح فوقانی برگچه جوان	(۰) کرک دار یا اغلب کرک دار، (۱) بی کرک یا اغلب بی کرک	۷	۰/۱۴	۰/۲۵
۹	شکل راس برگچه	(۰) گرد تا منفرجه، (۱) منفرجه تا حاشیه دار، (۲) نوک تیز تا منفرجه، (۳) گرد تا نوک تیز، (۴) نوک تیز، تا حدی نوک تیز تا نوک تیز شونده	۹	۰/۴۴	۰/۴۴
۱۰	گل با کرک مخلوط سیاه و سفید	(۰) دارد، (۱) ندارد	۵	۰/۲	۰/۵
۱۱	تراکم گل آذین	(۰) غیر متراکم و پراکنده در طول ساقه، (۱) متراکم	۳	۰/۳۳	۰/۳۳
۱۲	تعداد گل در گل آذین	(۰) همه یا اغلب دارای خوش‌های جانبی جانبه ۳-۲ گل، (۱) همه یا اغلب دارای خوش‌های جانبی با ۳-۲ گل یا اغلب یک گل	۴	۰/۲۵	۰/۵
۱۳	تکامل دم گل آذین	(۰) دارای دم گل آذین، (۱) گل آذین سست بدون دم گل آذین	۲	۰/۵	۰/۸
۱۴	طول دم گل آذین (سانتی متر)	(۰) بیشتر از ۱,۵ سانتی متر، (۱) بدون دم گل آذین یا دم گل آذین کوتاه به طول تا ۱,۵ سانتی متر	۶	۰/۱۶	۰/۲۸
۱۵	شکل برگ	(۰) غیر باریک شونده، (۱) باریک شونده	۵	۰/۲	۰
۱۶	کرک در برگ	(۰) دارای کرک یا اغلب بیشتر از نصف سطح دارای کرک، (۱) همه تا اغلب بی کرک یا دارای کرک تنک یا فقط در قسمت‌های کوچک دارای کرک	۶	۰/۱۶	۰
۱۷	وجود برگک در قاعده کاسه	(۰) همیشه یا به ندرت وجود دارد، (۱) هرگز وجود ندارد	۵	۰/۱۶	۰/۲۸
۱۸	شکل برگک	(۰) خطی، (۱) رشتہ‌ای، (۲) تخم مرغی باریک شونده، (۳) وجود ندارد	۶	۰/۵	۰/۴
۱۹	شکل دندانه کاسه	(۰) نوک تیز تا نوک تیز با قاعده مثلثی، (۱) رشتہ‌ای تا خطی، (۲) مثلثی باریک شونده تا نوک تیز شونده	۵	۰/۴	۰/۲۵
۲۰	درفش کرکدار	(۰) ندارد، (۱) دارد	۲	۰/۵	۰
۲۱	رنگ پهنک درفش	(۰) همه یا اغلب سفید یا زرد، (۱) همه یا اغلب صورتی	۷	۰/۲۸	۰/۵

۲۲	طول درفش	قرمز یا آبی و بنفش، (۲) دارای هر دو طیف رنگ ۱ و ۲ (۰) حداقل ۱۵ میلیمتر، (۱) حداقل ۱۲ میلیمتر	۶	۰/۱۶	.
۲۳	شکل بیولوژی درفش	(۰) وجود ندارد، (۱) وجود دارد	۵	۰/۲	۰/۵
۲۴	تمایز درفش به ناخنک	(۰) پهنک تدریجیا باریک شونده به سمت ناخنک، (۱) پهنک به طور مشخص تمایز از ناخنک، (۲) هر دو شکل ۱ و ۲ با غالیت یکی از اشکال	۴	۰/۶۶	۰/۶۶
۲۵	شکل پهنک درفش	(۰) تخمرغی تا واژ تخمرغی، (۱) واژ تخمرغی تا پیضوی گاهی زاویه دار	۱	۱	۱
۲۶	وجود فشردگی در پهنک	(۰) دارد، (۱) ندارد.	۴	۰/۲۵	۰/۵
۲۷	شکل قاعده درفش	(۰) باریک شونده به سمت ناخنک، (۱) هم عرض، باریک‌تر یا پهن‌تر از قسمت بالایی درفش	۵	۰/۴۵	۰/۵۷
۲۸	وجود ناخنک درفش	(۰) بدون ناخنک تمایز، (۱) به صورت پهن تا گوهای باریک شونده وجود دارد	۳	۰/۵	۰/۶۶
۲۹	مقایسه طول بال با درفش	(۰) بال هم طول یا حداقل تا یک میلی‌متر کوتاه‌تر از طول درفش، (۱) بیش‌تر از یک میلی‌متر کوتاه‌تر از طول درفش	۶	۰/۱۶	۰/۴۴
۳۰	مقایسه طول ناو با بال	(۰) بال هم طول یا حداقل تا یک میلی‌متر کوتاه‌تر از طول بال، (۱) بیش‌تر از یک میلی‌متر کوتاه‌تر از طول بال	۶	۰/۱۶	۰/۱۶
۳۱	شکل نیام	(۰) پیضوی-مستطیلی، (۱) تخمرغی	۶	۰/۳۳	۰/۳۳
۳۲	تعداد حجره نیام	(۰) دو حجره، (۱) تک حجره	۳	۰/۳۳	۰/۷۷

جدول ۳- ماتریس صفات مورد استفاده در بررسی روند تکامل صفات ریخت شناختی گونه‌های مورد مطالعه.N: حالت صفت نامشخص

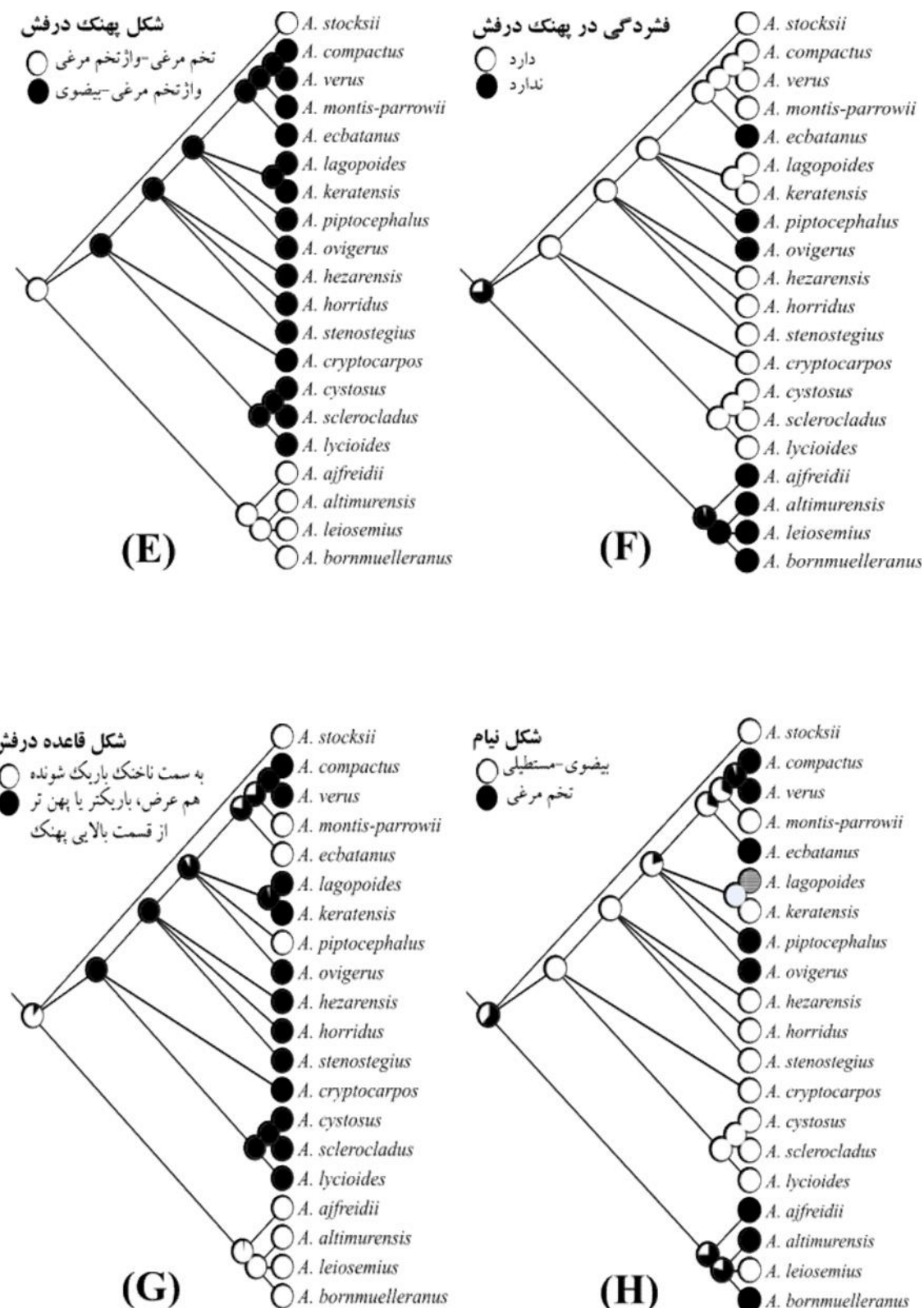
Table 3. Morphological character binary matrix used in the ancestral reconstruction. N: unknown character state.

Species	Traits																																
	1	2	3	4	5	6	7	8	9	10	11	12	13	14	15	16	17	18	19	20	21	22	23	24	25	26	27	28	29	30	31	32	
<i>A. stockii</i>	0	0	0	0	0	0	0	0	0	0	0	0	0	0	0	0	0	0	0	0	0	0	0	0	0	0	0	0	0	0	0	0	0
<i>A. ecbatianus</i>	1	2	0	1	1	1	1	3	1	0	0	0	1	0	0	0	2	0	0	2	0	0	0	0	1	0	0	0	0	0	1	1	
<i>A. lacopoides</i>	0	1	1	0	1	1	0	0	4	1	1	0	0	0	1	0	1	3	0	0	2	1	1	1	0	0	1	1	0	0	N	1	
<i>A. verus</i>	0	2	1	1	1	1	0	0	4	1	0	1	1	1	1	1	1	3	1	0	2	0	1	2	0	0	1	1	0	0	1	1	
<i>A. compactus</i>	1	1	1	1	0	1	0	0	4	1	1	0	1	1	1	0	1	3	1	0	0	1	1	1	0	0	1	1	0	1	1	1	
<i>A. morris-parrowii</i>	1	0	1	N	1	1	0	4	1	0	0	0	0	N	1	1	3	N	1	0	1	1	1	0	0	0	1	1	0	0	1		
<i>A. leiospermus</i>	1	0	1	N	1	1	0	1	4	1	0	1	1	0	1	N	1	3	0	0	0	1	0	0	0	1	0	0	1	1	0	0	
<i>A. hazarensis</i>	0	1	1	0	1	1	1	1	3	0	0	1	0	1	1	0	0	0	0	0	1	0	0	1	0	1	1	0	1	0	1		
<i>A. heratensis</i>	1	0	1	1	1	1	0	0	3	0	1	0	0	0	1	0	0	1	0	0	1	1	1	1	0	0	1	0	0	1	0	1	
<i>A. piptocephalus</i>	0	2	0	0	1	1	0	1	2	1	1	0	0	1	0	0	1	3	0	0	1	1	1	0	0	0	1	0	0	0	1	1	
<i>A. lyctoides</i>	0	0	0	1	1	0	0	1	1	0	0	0	0	1	1	0	0	0	0	1	1	0	0	1	0	1	1	0	1	1	0	0	
<i>A. cystosus</i>	0	0	0	1	1	0	0	0	1	0	0	0	0	1	0	0	0	0	1	1	1	1	0	1	0	1	0	0	1	0	0	0	
<i>A. sclerocladus</i>	0	0	0	1	1	0	1	0	1	0	0	0	1	0	0	0	0	0	1	1	1	0	1	0	1	0	0	1	0	0	0	0	
<i>A. horrius</i>	0	2	1	1	1	1	0	1	2	0	0	0	1	0	0	1	3	1	0	1	1	0	1	0	1	0	1	0	0	0	0	0	
<i>A. stanistegius</i>	0	2	1	1	1	1	0	0	3	0	0	0	0	1	1	0	1	3	1	0	1	0	1	0	1	0	1	1	0	0	0	0	
<i>A. cryptocarpus</i>	1	0	1	0	1	1	1	1	2	0	0	0	0	1	1	1	1	3	0	0	0	1	0	0	1	0	1	1	0	0	0	0	
<i>A. altimurensis</i>	1	0	N	1	1	1	0	1	2	1	0	1	1	N	1	0	1	3	2	0	0	0	0	0	1	0	0	0	1	1	0		
<i>A. affreidii</i>	1	0	0	1	0	1	1	0	N	1	0	1	1	N	1	1	N	N	2	0	0	1	0	0	0	1	0	0	1	1	1		
<i>A. bornmuelleranus</i>	1	0	0	1	1	0	1	1	N	1	0	1	1	N	1	1	N	N	0	0	1	1	0	0	0	1	1	1	1	0	0		
<i>A. ovigerus</i>	0	0	0	1	1	0	0	1	0	0	1	0	0	0	0	0	0	0	1	0	0	1	1	1	0	1	1	1	1	1	1		



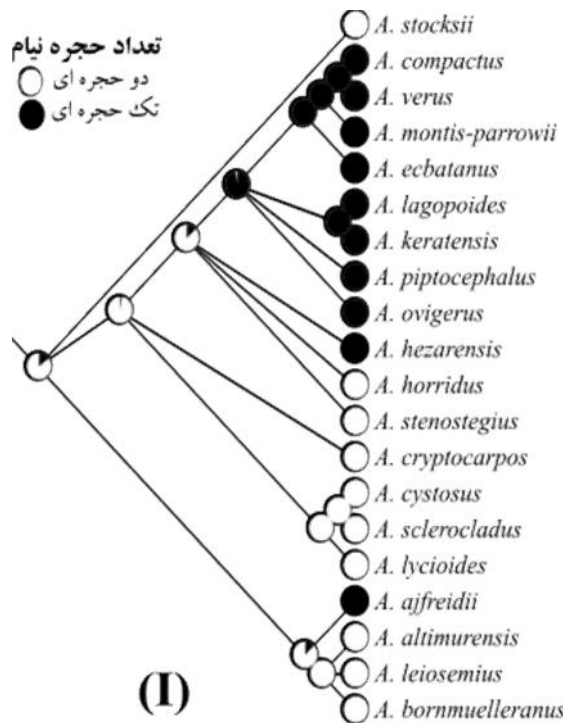
شکل ۲- بازسازی حالات نیایی-پیشرفتی صفات ریخت‌شناسی که در متن بحث شده است. **A.** شکل بروگچه (صفت ۶). **B.** تعداد گل در گل آذین (صفت ۱۲). **C.** شکل قاعده تکامل دم گل آذین (صفت ۱۳). **D.** رنگ پهنک درفش (صفت ۲۱). **E.** شکل پهنک درفش (صفت ۲۵). **F.** فشردگی در پهنک درفش (صفت ۲۶). **G.** شکل قاعده درفش (صفت ۲۷). **H.** شکل نیام (صفت ۳۱). **I.** تعداد حجره نیام (صفت ۳۲). **J.** الگوهای جورنمایی با رنگ‌های مختلف نشان داده شده است.

Fig. 2. Ancestral state reconstructions of morphological characters discussed in the text. **A.** leaflets shape (character: 6). **B.** the number of flowers in inflorescence (character: 12). **C.** inflorescence peduncle (character: 13). **D.** the color of petal (character: 21). **E.** the shape of standard blade (character: 25). **F.** standard constriction (character: 26). **G.** standard shape at base (character: 27). **H.** legume shape (character: 31). **I.** the number of legume locules (character: 32). The patterns of homoplasy are shown using various colors.



شکل ۲- ادامه.

Fig. 2. Continued.



شکل ۲- ادامه.

Fig. 2. Continued.

(صفت شماره ۲۴)، شکل نیام (صفت شماره ۳۱) و تعداد حجره در نیام (صفت شماره ۳۲) در رده‌بندی‌های گذشته نیز مورد استفاده قرار گرفته‌اند (Maassoumi, 2005, 2016; Podlech & Zarre, 2013). بیشتر ویژگی‌های ریخت‌شناسی مورد استفاده در تعیین حدود بخش‌ها در گونه‌های خاردار میزان بالای جورنمایی را نشان می‌دهند (Zarre-Mobarakeh, 2000).

تجزیه و تحلیل داده‌ها در این مطالعه نشان داد که تنها تعداد معددودی از صفات مورد مطالعه نشانگر صفات مشترک بخشی *Acanthophace* بوده که منطبق با درخت تبارزایشی آن‌ها است. بیشتر صفات در گروه مورد مطالعه چندین بار واگرا شدند. در تلاش حاضر، صفات زیر شاخص سازگاری نسبتاً کم دارند (۰/۵۰-۰/۱۴) که نشان دهنده سطح بالایی از یکنواختی و جورنمایی است: فرم رویشی (صفت شماره ۱)، وجود کرک در گوشوارک (صفت شماره ۳)، اندازه خار انتهای برگ (صفت شماره ۴)، وجود کرک در برگچه جوان (صفت‌های شماره ۷ و ۸)، گل‌ها با کرک مخلوط سیاه و سفید (صفت شماره ۱۰)، تعداد گل در گل‌آذین (صفت شماره ۱۲)، طول دم گل‌آذین (صفت شماره ۱۴)، وجود کرک در برگه (صفت شماره ۱۶)، وجود برگک در قاعده کاسه (صفت شماره ۱۷)، طول درفش (صفت شماره ۲۲)، شکل ویلونی درفش (صفت شماره ۲۳)، وجود فشردگی در

در تجزیه و تحلیل تبارزایشی داده‌های ITS و nrDNA $rpl32$ ^{UAG} در فاصله دور از اعضای این بخش در کلادی همراه با اعضای دیگر گونه‌های خاردار قرار گرفته است. نتیجه اخیر در تجزیه و تحلیل موقعیت تبارزایشی گونه *A. montis-parrowii* بر اساس توالی کلروپلاستی $trnS^{(GCU)}-trnG^{(UCC)}$ نیز بازسازی شده است (Khalili et al., 2020).

تمام صفات ریخت‌شناسی از آنجایی که تعداد حالت‌های صفت مورد بررسی در هر صفت محدود است، شاخص‌های ri و ci صفات کاهش می‌یابد و از طرف دیگر مقادیر کم اندازه گیری شده شاخص‌های آماری برای صفات ریخت‌شناسی نشان‌دهنده درجه‌ای از یکنواختی در صفات Sanderson & Dounogue, 1989; Sanderson & Hufford, 1996

از آنجایی که مکان‌گذاری روند تکامل صفاتی با جورنمایی زیاد و تعداد کم صفات مشترک پیشرفت (سین آپومورف) بسیار دشوار است، در این مطالعه صفاتی انتخاب شده‌اند که در مقالات و منابع مختلف به عنوان صفات مفید با قابلیت دسترسی آسان و همچنین نمایانگر سطح پایین جورنمایی بوده‌اند. صفات کرک مخلوط سیاه و سفید (صفت شماره ۱۰)، تعداد گل‌های موجود در گل‌آذین (صفت شماره ۱۲)، درفش متمازیز شونده به ناخنک

مشترک بخشه *Acanthophace* است در حالی که شکل تخم‌مرغی واژ تخم‌مرغی پهنک به عنوان حالت مشترک در درون بخشه (A. *montis-parrowii*) (به جز گونه *Aegacantha* مکان‌گذاری شد (شکل ۲E).

وجود فشردگی در پهنک درفش (صفت شماره ۲۶): تکامل پهنک دارای فشردگی به عنوان حالت صفت مشترک بخشه (A. *ovigerus*) (به جز در گونه *Acanthophace*) و پهنک بدون فشردگی در بخشه *Aegacantha* (به جز گونه A. *montis-parrowii*) مکان‌گذاری شده است (شکل ۲F).

شكل قاعده درفش (صفت شماره ۲۷): قاعده پهنک هم عرض، باریک تر یا پهن تر از قسمت فوقانی پهنک، حالت صفت مشترک برای بخشه *Acanthophace* بوده در حالی که قاعده پهنک باریک شونده به ناخنک به عنوان حالت صفت مشترک برای بخشه *Aegacantha* در نظر گرفته شده است. در کل گونه‌ای خاردار مورد بررسی حالت صفت پیشرفته پهنک درفش هم عرض، باریکتر یا پهن تر از قسمت بالایی درفش چندین بار تکامل یافته است (شکل ۲G).

شكل نیام (صفت شماره ۳۱): شکل مستطیلی- بیضوی نیام در بخشه *Acanthophace* به عنوان حالت صفت مشترک (به جز در A. *ovigerus*) و در گونه‌های متعلق به بخشه *Aegacantha* شکل تخم‌مرغی نیام حالت صفت مشترک (به جز گونه A. *montis-parrowii* و گونه *leiosemius*) مکان‌گذاری شدند و این در حالی است که در گونه‌ای خاردار مورد بررسی حالت پیشرفته صفت (شكل نیام بیضوی-مستطیلی) چندین بار تکامل یافته است (شکل ۲H).

تعداد حجره نیام (صفت شماره ۳۲): حالت صفت نیام دو حجره‌ای در بخشه *Acanthophace* به جز گونه‌های A. *ovigerus* و (A. *aiffreidii* و در بخشه *Aegacantha* *hezarensis* (به جز گونه A. *hezarensis*) تکامل یافته است. در بقیه گونه‌های گون خاردار مورد بررسی حالت صفت نیام تک حجره‌ای مکان‌گذاری شده است (شکل ۲I).

نتیجه گیری

در مطالعه حاضر ارزش چندین صفت ریخت‌شناسی اصلاح شده است. اکثر صفات ریخت‌شناسی که در تعیین حدود بخشه‌ها مورد استفاده قرار گرفته‌اند، میزان بالای جورنمایی را نشان می‌دهند. در این پژوهش چندین صفت مانند شکل برگچه، تکامل دم گل آذین، تعداد گل در گل آذین، رنگ گلبرگ، شکل پهنک درفش، فشردگی در درفش، شکل درفش در قاعده و شکل نیام برای تعیین حدود آرایه‌ها در بخشه‌های *Acanthophace* و *Aegacantha* ارزشمند می‌باشد. بازسازی این صفات با نتایج

درفش (صفت شماره ۲۶)، مقایسه طول بال و درفش (صفت شماره ۲۹) و مقایسه طول ناو و بال (صفت شماره ۳۰). روند تکامل صفاتی که جورنمایی کمتری را نشان می‌دهند در زیر مورد بحث قرار گرفته است.

شكل برگچه (صفت شماره ۶): دو کلاد کوچک موجود در درخت تبارزایی بخشه *Acanthophace* دقیقاً با مکان‌گذاری تکامل این صفت سازگار است به این معنا که کلاد اول شامل گونه‌های A. *hezarensis* و A. *horridus stenostegius* *cryptocarplos* حالت صفت مشترک پیشرفته یعنی شکل باریک شونده برگچه‌ها (دارای نسبت طول به عرض بیشتر از ۲) را دارا می‌باشند در حالی که کلاد دوم با روابط تبارزایی حل شده گونه‌های A. *lycioides* و A. *cystosus* A. *sclerocladus* مشترک ابتدایی یعنی شکل غیر باریک شونده برگچه‌ها (با نسبت طول به عرض کمتر از ۲) است. حالت صفت برگچه غیر باریک شونده در بخشه *Aegacantha* رایج نبود و فقط در گونه A. *bornmuellerianus* تکامل یافته است (شکل ۲A).

تعداد گل‌ها در گل آذین (صفت شماره ۱۲): گل آذین با تعداد گل بیشتر از سه گل به عنوان حالت صفت ابتدایی در اکثر اعضای A. *hezarensis* (به جز گونه‌های *Acanthophace*) (به جز گونه A. *ovigerus*) با حالت صفت تعداد گل اندک تا سه گل در گل آذین) وجود دارد و گل آذین با تعداد گل اندک تا سه گل به عنوان یک حالت صفت مشترک در بخشه *Aegacantha* (به جز گونه (A. *montis-parrowii*) است (شکل ۲B).

تکامل دم گل آذین (صفت شماره ۱۳): وجود دم گل آذین به عنوان یک حالت صفت مشترک در درون بخشه *Acanthophace* و گل آذین سست بدون دم گل آذین به عنوان حالت صفت مشترک برای بخشه *Aegacantha* (به جز گونه A. *montis-parrowii*) (مکان‌گذاری شده است (شکل ۲C).

رنگ گلبرگ (صفت شماره ۲۱): این صفت در مطالعات قبل نیز مورد توجه قرار گرفته است. مکان‌گذاری این صفت اهمیت رنگ گلبرگ را به عنوان یک ویژگی تشخیصی بین بخشه‌های *Aegacantha* و *Acanthophace* نشان داد. رنگ گلبرگ سفید تا زرد به عنوان یک صفت مشترک برای بخشه *Aegacantha* و رنگ گلبرگ صورتی تا قرمز و آبی حالت صفت مشترک در گونه‌های بخشه *Acanthophace* (به جز گونه A. *hezarensis* با گلبرگ سفید) پیشنهاد شده است (شکل ۲D). شکل پهنک درفش (صفت شماره ۲۵): صفات مربوط به شکل درفش در مطالعات قبل نیز مورد اهمیت قرار گرفته است (Maassoumi, 2005, 2016; Podlech & Zarre, 2016). در این مطالعه شکل واژ تخم‌مرغی تا بیضوی پهنک حالت صفت

REFERENCES

- Amini, E., Kazempour-Osaloo, Sh., Maassoumi, A.A. & Zare-Maivan, H. 2019. Phylogeny, biogeography and divergence times of *Astragalus* section *Incani* DC. (Fabaceae) inferred from nrDNA ITS and plastid *rpl32-trnL*^(UAG) sequences. Nordic Journal of Botany, 37.
- Farri, J.S., Kallersjo, M., Kluge, A.G. & Bult, C. 1994. Testing significance of incongruence. Cladistics 10: 315-319.
- Ghahremaninejad, F. & Joharchi, M.R. 2020. 840th species of genus *Astragalus* (Fabaceae) for the flora of Iran from Khorassan Province as a new record: *A. globiceps* Bunge. J. Plant Res. 32: 906-910.
- Khalili, Z., Ghalenoyi, S., Maassoumi, A.A. & Kazempour-Osaloo, Sh. 2020. Phylogenetic relationships, biogeography and taxonomic delimitation of *Astragalus* sect. *Acanthophace* (Fabaceae) using cpDNA and nrDNA ITS sequences analyses. Plant Biosyst. Published online, [DOI: 10.1080/11263504.2020.1739162]
- Lock, J.M. & Simpson, K. 1991. Legumes of west Asia, a checklist. Royal Botanical Gardens Press. Kew. 263 pp.
- Maassoumi, A.A. 1995. The genus *Astragalus* in Iran, perennials, Vol. 3. Research Institute of Forests and Rangeland, Tehran, 502 pp.
- Maassoumi, A.A. 1998. *Astragalus* in the Old World, a checklist. Research Institute of Forests and Rangeland, Tehran, 617 pp.
- Maassoumi, A.A. 2005. The genus *Astragalus* in Iran, Vol. 5. Research Institute of Forests and Rangeland, Tehran, 551 pp.
- Maassoumi, A.A. 2016. Flora of Iran, Fabaceae (*Astragalus* II), Vol. 85. Research Institute of Forests and Rangeland, Tehran, 506 pp.
- Maddison, W.P. & Maddison, D.R. 2015. Mesquite: a modular system for evolutionary analysis. Version 3.04. Available from: <http://www.mesquiteproject.org>. [Accessed: 30 November 2019]
- Maddison, W.A., Donoghue, M.J. & Maddison, D.R. 1984. Outgroup analysis and parsimony. Syst. Zool. 33: 83-103.
- Miller, M.A., Pfeiffer, W. & Schwartz, T. 2010. Creating the CIPRES science gateway for inference of large phylogenetic trees. In Proceedings of the Gateway Computing Environments Workshop (GCE). New Orleans, LA. 8 pp.
- Podlech, D., Zarre Sh. & Maassoumi, A.A. 2001. Papilionaceae IV: *Astragalus* II. In Rechinger, K.H. (ed.), Flora Iranica, no. 175. Akademische Druck-u.Verlagsanstalt, Graz, Austria, 197 pp.
- Podlech, D. 1999. Papilionaceae III: *Astragalus*. In Rechinger, K.H. (ed.), Flora Iranica, no. 174. Akademische Druck-u.Verlagsanstalt, Graz, Austria, 350 pp.
- Podlech, D. & Zarre, Sh. (with collaboration of Ekici, M., Maassoumi, A.A. & Sytin, A.). 2013. A taxonomic revision of the genus *Astragalus* L. (Leguminosae) in the Old World, vols. 1-3. Naturhist. Mus. Vienna, Austria, 2439 pp.
- Posada, D. 2008. JModelTest: phylogenetic model averaging. Mol. Biol. Evol. 25: 1253-1256.
- حاصل از داده‌های تبارزایشی همگام است. تجزیه و تحلیل‌های *A. ovigerus* تبارزایشی و تکامل صفات منتج به جداسازی گونه از بخش *Acanthophace* شده است. از طرف دیگر، نتایج مکان‌گذاری حالات صفات پهنک بدون فشردگی (حالت صفت شماره ۲۶) و شکل تخم‌مرغی نیام (حالت صفت شماره ۳۱)، همچنین داشتن نیام تک حجره (حالت صفت شماره ۳۲) از نظر تشخیصی برای جداسازی *A. ovigerus* از سایر گونه‌های این بخش کافی می‌باشد. ویژگی گل‌آذین خوشه مت Shank از ۳-۲ گل جانبی یا عمدتاً یک گل (حالت صفت شماره ۱۲) و نیز داشتن نیام تک حجره صفاتی بوده‌اند که (2016) بر جدایی گونه‌های *A. hezarensis* و *A. ovigerus* به عنوان یک بخش مستقل *Lamprocarpa* تأکید داشته است.
- صفات مکان‌گذاری شده که با موقعیت گونه-*A. montis* در درخت تبارزایشی بخش *parrowii* منطبق است و جدایی گونه مذکور از این بخش را تایید می‌کند عبارتند از: تعداد گل‌های گل‌آذین (صفت شماره ۱۲)، تکامل دم گل‌آذین (صفت شماره ۱۳)، گلبرگ کرکدار (حالت صفت شماره ۲۰)، درفش ویلونی شکل (حالت صفت شماره ۲۳)، تمایز درفش به ناخنک (حالت صفت شماره ۲۴)، وجود فشردگی در درفش (حالت صفت شماره ۲۶)، شکل ناخنک درفش (صفت شماره ۲۸) و مقایسه طول ناو و بال (صفت شماره ۳۰).

سپاسگزاری

این مطالعه با حمایت مالی دانشگاه تربیت مدرس انجام شده است. از هر برایوم‌های TARI و MSB و W که امکانات لازم جهت مطالعه و تهیه نمونه‌های گیاهی را فراهم نموده‌اند، کمال تشکر را داریم.

- Ronquist, F., Teslenko, M., Mark, P., Ayres, D., Darling, D., Höhna, S., Larget, B., Liu, L., Suchard, M.A. & Huelsenbeck, J.** 2012. MrBayes 3.2: efficient bayesian phylogenetic inference and model choice across a large model space. *Syst Biol.* 61: 539-542.
- Sanderson, M.J. & Hufford, L.** 1996. Homoplasy and the evolutionary process: An afterword. In Sanderson, M.J. & Hufford, L. (eds.), *Homoplasy: the recurrence of similarity in evolution*. Academic Press, San Diego, Calif. London, pp: 271-301.
- Sanderson, M.J. & Dounogue, M.J.** 1989. Patterns of variation in levels of homoplasy. *Evolution* 43: 1781-95.
- Swofford, D.L.** 2002. PAUP*: Phylogenetic Analysis Using Parsimony (*and Other Methods), Version 4.0b10. Sunderland, Sinauer Associates. [Accessed 11 August 2019].
- Zarre, Sh. & Podlech, D.** 2001. Taxonomic revision of *Astragalus* sect. *Acanthophace* (Fabaceae). *Sendtnera* 7: 233-255.
- Zarre-Mobarakeh, Sh.** 2000. Systematic revision of *Astragalus* sect. *Adiaspastus*, sect. *Macrophyllum* and sect. *Pterophorus* (Fabaceae). *Englera* 18: 219.

How to cite this article:

Khalili, Z., Kazempour-Osaloo, Sh. & Maassoumi, A.A. 2020. Phylogeny and morphological traits evolution of *Astragalus* sects. *Acanthophace* and *Aegacantha* in Iran on the basis of nrDNA ITS and rpl32-trnL^{UAG} sequences. *Nova Biologica Reperta* 7: 228-241. (In Persian)

خلیلی، ز.، کاظم پور اوصالو، ش. و معصومی، ع.ا. ۱۳۹۹. تبارزایی و تکامل صفات ریخت‌شناسی بخش‌های آکانتوفاسه و اگاکانتا از سرده گون (تیره باقلائیان) بر اساس توالی‌های هسته‌ای و کلروپلاستی در ایران. *یافته‌های نوین در علوم زیستی* ۷: ۲۲۸-۲۴۱.